

7. SPIS LITERATURY

- Baade W., Minkowski R., 1954; Ap.J., 119, 206.
- Baars J.W.M., van der Brugge J.F., Casse J.L., Hamaker J.P.,
Sondar L.H., Visser J.J., Wellington K.J., 1973: Proc. IEEE, 61.
- Bennett A.S., 1961: Mem.R.A.S., 68, 163.
- Bennett A.S., 1962: MNRAS., 125, 75.
- Blythe J.H., 1957: MNRAS., 117, 644.
- Bolton J.G., 1971: 12 International Conference on Cosmic Rays,
Hobart., str. 111.
- Branson N.J.B.A., 1970: The One Mile Telescope - Copilots Guide.
- Bridle A.H., Davis M.M., Fomalont E.B., Lequeux J., 1972:
Nature, 235, 123.
- Condon J.J., Jauncey D., 1973: Ap.J., 184, L 33.
- Davis M.M., 1971 : Astron.J., 76, 980.
- Davis M.M., 1973 : w przygotowaniu.
- Eddington A.S., 1940 : MNRAS., 100, 354.
- Edge D.O., Shakeshaft J.R., McAdam W.B., Baldwin J.E., Archer S.,
1959 : Mem.R.A.S., 68, 37.
- Elsmore B., Kenderdine S., Ryle M., 1966 : MNRAS., 134, 88.
- Fanaroff B.L., Longair M.S., 1973 : MNRAS., 161, 393.
- Fomalont E.B., Bridle A.H., Davis M.M., 1974:
Astron.Astrophys., 36, 273.
- Gillespie A.R., 1975 : MNRAS., 170, 541.
- Gower J.F.R., 1966: MNRAS., 133, 151.
- Gower J.F.R., Scott P.F., Wills D., 1967: Mem.R.A.S., 71, 49.

- Hewish A., 1961: MNRAS., 123, 167.
- Hinder R.A., Branson N.J.B.A., 1969: Observatory, 89, 178.
- Hinder R.A., Ryle M., 1971: MNRAS., 154, 229.
- Hughes R.G., Longair M.S., 1967: MNRAS., 135, 131.
- von Hoerner S., 1973: Ap.J., 186, 741.
- Holden D.J., 1966: MNRAS., 133, 225.
- Holliday J., 1973: osobiste kontakty.
- Katgert P., Katgert-Merkelijn J.K., Le Poole R.S., van der Laan H.,
1973: Astron. Astrophys., 23, 171.
- Katgert J.K., Spinrad H., 1974: Astron. Astrophys., 35, 393.
- Kenderdine S., Ryle M., Pooley G.G., 1966: MNRAS., 134, 189.
- Longair M.S., 1966: MNRAS., 133, 421.
- Longair M.S., 1968: Observatory, 88, 199.
- Longair M.S., 1973: IAU Symposium No 63, str.93,
Reidel Publishing Co., Dordrecht.
- Machalski J., Zięba S., Masłowski J., 1974: Astron. Astrophys.,
33, 357.
- Masłowski J., 1972: Astron. Astrophys., 16, 197.
- McCready L.L., Pawsey J.L., Payne-Scott R., 1947:
Proc. Roy. Soc. A, 190, 357.
- Murdoch H.S., Crawford D.F., Jauncey D.L., 1973: Ap.J., 183, 1.
- Pearson T.J., 1974: MNRAS., 166, 249.
- Pearson T.J., 1975: MNRAS., w druku.
- Parkes A.G., Penston M.V., 1973: MNRAS., 162, 117.
- Penzias A.A., Wilson R.W., 1965: Ap.J., 142, 419.
- Pooley G.G., 1966: MNRAS., 144, 101.

- Pooley G.G., Kenderdine S., 1968 : MNRAS., 139 , 529 .
- Ryle M., Smith F.G., 1948 : Nature , 162 , 462 .
- Ryle M., 1952 : Nature , 194 , 517 .
- Ryle M., Neville A., 1962 : MNRAS., 125 , 39 .
- Ryle M., 1968 : Annual Review of Astron. Astrophys., 6 , 249 .
- Ryle M., 1972 : Nature , 239 , 435 .
- Schmidt M., 1972 : Ap.J., 176 , 303 .
- Shimmins A.J., Bolton J.G., 1973 : w druku .
- Smith F.G., 1951 : Nature , 168 , 555 .
- Swenson G.W., Mathur N.C., 1968 : Proc.IEEE., 66 , 2114 .
- Warner P.J., 1973 : osobiste kontakty.
- Willson M.A.G., 1970 : MNRAS., 151 , 1 .
- Windram A.S., 1970 : Teza doktorska , Cambridge University.
- Zwicky F., Herzog E., 1966 : Catalogue of Galaxies and
Clusters of Galaxies , California Institute of Technology.
- Yahil A., 1972 : Ap.J., 178 , 45 .

APENDIX I

Analiza zawyżania amplitud źródeł spowodowanego efektem konfuzji.

Na podstawie listy radioźródeł / Apendix II / wybrano te same, widoczne na obydwu mapach obiekty. Porównano ich amplitudy, przy czym A_1 oznacza amplitudę źródła mierzonego na mapie o małej rozdzielczości a A_2 amplitudę tego samego źródła na mapie o pełnej zdolności rozdzielczej. Iloraz A_1/A_2 wykreślono w funkcji A_1 . Dane dla 48 źródeł zestawiono na rysunku 33. Z analizy wykluczono obiekty rozciągłe. Uśrednione wartości w wybranych przedziałach podano poniżej :

S /mf.u./	10	20	40	80	5000
A_1/A_2	1.11	1.10	1.03	1.03	0.96
σ	0.18	0.06	0.04	0.04	0.03

Jeśli oznaczyć przez A_R amplitudy rzeczywiste a przez A_k przyrost amplitudy wywołany obecnością źródeł tła to :

$$A_1 = A_R + A_k .$$

Zakładając, że $A_2 \cong A_R$

$$\frac{A_1}{A_2} \cong 1 + \frac{A_k}{A_R} .$$

Dla mapy o pełnej zdolności rozdzielczej powierzchnia wiązki jest czterokrotnie mniejsza a więc

$$k = \frac{A_1}{A_2} = 1 + \frac{A_k}{4 A_R} = \frac{1}{4} \left[3 + \frac{A_1}{A_2} \right] .$$

Do otrzymanych wartości dopasowano następującą zależność :

$$k = 1 + \frac{0.48}{S} , \quad S \text{ wyrażone w mf.u..}$$

Zakładając że rzeczywista liczba radioźródeł ΔN_R w obserwowanym przedziale ΔS jest proporcjonalna do

$$\bar{S}^{-(\beta+1)} \Delta S$$

oraz przyjmując następujące oznaczenia : n_1 liczba źródeł wchodząca z niższego przedziału do analizowanego i n_2 liczba źródeł wypadająca z tego przedziału do wyższego to:

$$\Delta N_{\text{obs}} = \Delta N_R + n_1 - n_2 \quad \text{lub}$$

$$k_0 = \frac{\Delta N_{\text{obs}}}{\Delta N_R} = 1 + \frac{n_1}{\Delta N_R} - \frac{n_2}{\Delta N_R}$$

k_0 jest poprawką jaką należy uwzględnić przy zliczeniach wynikającą z istnienia silnie fluktuującego tła - dużej liczby słabych radioźródeł.

Dla wybranego przedziału strumienia $S_2 - S_1 = \Delta S$ i wyliczonych k_1 i k_2 odpowiadających granicznym wartościom strumienia tego przedziału

$$\frac{n_1}{\Delta N_R} = \left(S_1 - \frac{S_1}{k_1} \right) \left(\frac{S_1 + \frac{S_1}{k_1}}{2} \right)^{-(\beta + 1)}$$

i analogicznie dla $n_2 / \Delta N_R$.

Przyjmując $\beta = 0.8$ otrzymamy :

$$k_0 = 1 + \frac{S_1^{1.8}}{\Delta S} \left\{ \frac{1 - \frac{1}{k_1}}{S_1^{0.8} \left(0.5 + \frac{0.5}{k_1} \right)^{1.8}} - \frac{1 - \frac{1}{k_2}}{S_2^{0.8} \left(0.5 + \frac{0.5}{k_2} \right)^{1.8}} \right\}$$

Wyliczone dla różnych przedziałów strumienia wartości k_0 podano w tabeli poniżej .

S /mf.u./	ΔS	\bar{S}	k	k_0
12			1.0400	
	4.8	14.4		1.063
16.8			1.0286	
	8.9	21.4		1.044
25.7			1.0187	
	13.6	32.9		1.029
39.3			1.0122	
	20.7	49.2		1.018
60.0			1.0080	
	31.7	69.4		1.010
91.7			1.0052	

Poprawki wyznaczone powyższą metodą są zgodne z wyznaczonymi metodą zaproponowaną przez Bennett'a /1962/ oraz wynikami Murdoch'a i innych /1973/. Biorąc po uwagę istnienie dużych błędów przy wyznaczeniu czynnika k wyniki uzyskane tu nie były uwzględniane do wprowadzenia korekcji zliczeń.

APENDIX II

Wstępna lista radioźródeł.

Liczba rzeczywistych źródeł jest znacznie wyższa niż podana w katalogu / tabela IV /. Część źródeł znajduje się poza konturem gdzie następuje pięciokrotne osłabienie czułości, część posiada amplitudy mniejsze w stosunku do poziomu szumów niż przyjęte podczas sporządzania katalogu.

Załączona tu lista obserwowanych radioźródeł stanowiła podstawowy materiał do zliczeń źródeł na 408 MHz oraz pomiaru efektu konfuzji na mapach. Lista obejmuje źródła obserwowane na 408 MHz na mapach o dwukrotnie mniejszej i pełnej zdolności rozdzielczej. Oprócz kolejnego roboczego numeru podano w kolejności pozycję w rektascencji, deklinacji, pozycję X,Y na dwuwymiarowej matrycy 128 x 128 punktów, otrzymanej po transformacji Fouriera, odległość od centrum pola w minutach łuku oraz osłabienie A_1 - spowodowaną interpolacją na płaszczyźnie u,v, A_2 - charakterystyką pojedynczej anteny, A_3 - efektem wstęgi, linii zapóźniających i stałej czasowej /patrz rozdział 4.3/. W ostatniej kolumnie podano wartości strumienia radiowego. Do obydwu list dołączono mapę z odpowiednią numeracją źródeł.

APPENDIX III

Lista radioźródeł użytych do zliczeń w przedziale 1.0 - 1.6 mf.u. na 1407 MHz.

Nr	R.A.	Dec.	S ₁₄₀₇ /mf.u./	S/N
1	8 16 15.3	26 44 37.1	1.6	3.8
2	8 16 34.9	27 09 31.4	1.0	3.0
3	8 16 42.1	26 51 18.4	1.4	4.3
4	8 16 42.8	27 14 48.7	1.5	3.9
5	8 17 00.0	26 53 31.2	1.0	3.2
6	8 17 24.5	27 06 23.7	1.6	4.8

TABELA IV

507.	R.A. h m s	DEC. o ' "	błąd w α $\frac{1}{2} [S_{408} \pm \sigma]$ mf.u.	$\frac{1}{2} [S_{1407} \pm \sigma]$ mf.u.	α_{408}^{1407} uwagi, opt. identyfikacje
1+	8 10 11.5	28 12 02.0	13	79	25" SE dwa DRO 19 ^m
2+	8 10 33.3	27 17 09.4	9	68	10"E DRO 20 ^m
3+	8 10 41.9	27 04 13.4	7	70	10"W czerwona gal? 19 ^m
4+	8 10 42.4	28 00 40.4	4	173	15" EN czerwona gal? 20 ^m
5+	8 10 45.9	26 46 36.6	16	34	BI
6+	8 10 54.5	26 16 46.9	11	50	gal 19 ^m
7+	8 10 59.3	26 56 06.3	9	51	10" NE dwie gal.? 21 ^m
8+	8 11 13.7	26 50 34.4	14	36	BI
9+	8 11 33.5	28 42 58.4	11	122	10" SW BSO 19 ^m
10+	8 11 49.1	28 38 46.1	6	141	10" E czerw. gal? 20 ^m
11+	8 12 06.0	27 58 46.7	9	60	20" SW BSO 21 ^m
12+	8 12 09.0	27 12 27.9	6	63	BI
13+	8 12 13.6	26 18 35.0	18	31	20" W dwa NDO 19 ^m
14+	8 12 25.8	26 48 39.0	8	47	BI
15+	8 12 38.6	24 56 04.7	14	112	25" S SO 18 ^m
16+	8 12 39.7	27 43 37.7	3	173	BI
17+	8 12 52.0	28 27 49.4	12	65	trzy RDO w r=20" 19 ^m
18	8 13 25.5	26 57 22.5	8	16	10" W RDO 19 ^m
19+	8 13 27.1	28 28 30.4	6	143	BI
20+	8 13 29.2	28 06 38.4	4	123	25" E RDO 20 ^m
21+	8 13 30.3	26 26 56.8	10	35	BI
22	8 13 45.4	25 45 59.3	4	37	
23	8 13 47.8	25 53 59.4	3.5	34	10" N SO 17 ^m
24	8 13 48.1	28 31 20.0	3.0	65	5 gal? w r=20" 19 ^m
25	8 13 48.2	26 38 11.2	2.0	43	BI

26	8	13	57.3	26	40	37.1	3.0	29	3	trzy RDO	20 ^m	
27	8	14	00.7	25	24	03.0	5.2	42	6	DRD	21 ^m	
28	8	14	18.1	27	03	39.0	1.2	16	3	6 gal. w r=15"	19 ^m	
29	8	14	30.3	27	39	56.9	3.2	95	3	BI		
30	8	14	32.3	26	12	15.8		29	3			
31	8	14	34.4	26	29	10.0	1.3	75	3	10"N DRD	21 ^m	
32+	8	14	34.7	29	14	23.6	4	682	40			
33	8	14	37.4	26	44	12.0	1.8	47	3	15"S DRD	19 ^m	
34	8	14	44.9	26	39	19.2	2.0	36	2	SO	19 ^m	
35x	8	14	45.5	27	25	55.3	0.5	324	3	BI		
36	8	14	58.7	28	36	12.2	2.8	72	6	dwa DRD	21 ^m	
37+	8	15	03.3	24	58	11.0	8	159	21	10"W DRD	21 ^m	
38	8	15	03.9	26	45	46.2	4	21	3	10"N grupa DRD	21 ^m	
39	8	15	04.5	27	29	25.0	5	19	3			
40	8	15	12.1	28	18	21.5	3.2	47	5	5"E nieb. gal?	19 ^m	
41+	8	15	18.4	24	44	39.2	16	118	29	BI		
42	8	15	26.0	25	28	08.6	1.7	74	4	DRD	21 ^m	
43	8	15	31.9	26	25	16.3	3.5	24	3	5"SE SO	17 ^m	
44x	8	15	41.6	27	17	50.0	2.8	18	3	BI		
45x	8	15	50.9	26	33	16.6	0.3	304	3	gal	18 ^m	
46x	8	15	57.9	27	18	01.8	2.8	26	3	EXT,	15"W RDO	20 ^m
47	8	16	00.4	27	17	59.4	1.2	47		BI		
48	8	16	05.5	26	58	53.4	2.0	443	4	DRD	21 ^m	
49x	8	16	07.3	26	24	10.3	0.3	443		BI		
50	8	16	10.1	27	02	45.6	1.0	47		15"NE SO	18 ^m	

172.1 4.3 0.51

7.7 1.0 0.67
123.6 1.8 0.73

6.5 0.9 1.12
4.3 0.6 <0.39
1.7 0.3
283.9 3.7 0.36
2.9 0.3 <0.73

51	8	16	12.6	28	02	11.2	6	22	4	5.2	0.4	10"E DO 20 ^m
52	8	16	14.2	25	55	26.8	2.5	41	3	0.4	≤0.67	trzy RDO w r=10" 20 ^m
53	8	16	14.7	27	17	00.4	0.8	≤11	3	0.2	0.77	Zańcuch RDO 20 ^m
54	8	16	15.0	26	51	27.8	0.1	324	3	0.2	0.77	BDO 21 ^m
55	8	16	15.7	27	56	53.0	1.0	112	3	0.2	0.77	5"E nieb. gal 19 ^m
56	8	16	17.7	25	17	07.3	4	52	6	0.3	≤0.17	5 RDO w r=25" 20 ^m
57	8	16	19.1	27	04	58.4	0.5	≤10	3	0.3	≤0.17	10"W RDO 21 ^m
58	8	16	26.9	26	41	20.4	0.3	44	6	0.5	0.74	20"E dwa RDO i BDO 20 ^m
59	8	16	27.8	25	28	50.0	0.9	203	6	0.5	0.74	BDO 20 ^m
60	8	16	38.2	25	31	40.0	2.0	80	5	0.3	≤0.73	RDO 21 ^m
61	8	16	40.7	27	19	29.0	1.0	15	3	0.5	0.98	15"W RO 19 ^m
62	8	16	43.8	27	11	19.0	1.2	≤5	3	0.3	≤0.53	BI
63	8	16	50.7	26	53	43.6	0.8	≤9	4	0.3	≤0.80	15"NE BDO 20 ^m
64	8	16	54.0	25	43	01.2	2.4	56	4	0.3	≤0.80	5"N RSO 19 ^m
65	8	16	58.3	26	58	35.4	1.0	≤6	3	0.3	≤0.73	15"E gal 18 ^m
66	8	17	00.3	26	20	20.0	5.5	15	3	0.6	≤0.76	RDO 21 ^m
67	8	17	01.6	25	46	46.6	2.0	60	4	2.7	1.16	10"W dwa DO 21 ^m
68	8	17	04.6	26	34	32.5	1.2	≤12	3	3.8	0.64	15"W RDO 20 ^m
69x	8	17	08.0	27	35	45.0	2.0	57	3	3.8	0.64	BI
70x	8	17	16.6	26	22	26.0	1.6	48	3	0.6	≤0.76	trzy gal w r=20" 19 ^m
71	8	17	19.2	25	29	18.0	3.0	54	5	0.8	0.76	15"E BDO 20 ^m
72	8	17	20.7	27	52	45.0	1.0	178	5	0.8	0.76	5 RDO w r=15" 20 ^m
73a	8	17	27.5	27	30	19.5	3	31	3	0.4	0.89	EXT.
73b	8	17	29.6	27	29	29.9	0.8	31	3	0.4	0.89	50"NW gal 19 ^m
74	8	17	43.2	27	02	19.2	0.5	31	3	0.4	0.89	BI
75	8	17	49.4	25	39	42.0	2.5	56	5	0.4	0.89	BI

76	8	17	49:7	27	16	30:9	1:8	<<7	3	3:3	0.6	<=0.61	RDO 21 ^m
77	8	17	55:6	26	53	12:8	1:0	<<6	3	4:2	0.4	<=0.29	cztery RDO w r=15" 21 ^m
78x	8	18	07:8	27	18	01:2	3:4	25	3	7.5	1:3	0.96	BI
79	8	18	09:7	25	39	20:2	3:0	48	4	4:8	0:9	0:79	podwójny DO w grupie gal 21 ^m
80x	8	18	13:6	26	59	01:3	3:3	13	3				BI
81	8	18	21:6	25	28	40:2	1:0	221	7	9:9	2.5	<=0.40	DO 19 ^m
82	8	18	25:4	26	35	11:4	2:3	<<6	3	22:7	1.8	0.44	15"W RDO 19 ^m
83x	8	18	27:1	27	22	51:9	1:4	40	3	29:0	2:3	0:22	15"W BDO 21 ^m
84x	8	18	33:5	27	27	42:7	1:6	22	3	71:2	5:7	<=0.60	gal 19 ^m
85x	8	18	43:1	27	33	46:7	3:7	<<12					
86	8	18	48:5	27	39	04:0	3:2	31	3				BI
87	8	18	49:7	27	31	08:2	3:2	30	3				15"NW SO 18 ^m
88	8	18	57:8	28	37	45:3	2:0	114	3				15"ES dwa DO 21 ^m
89	8	19	01:0	27	37	56:0	1:8	52	3				BI
90x	8	19	01:8	27	06	34:1	5	20	4	19:3	5:6	0.01	10"E DO 20 ^m
91	8	19	14:4	25	48	13:3	0:5	501	5				BSO 19 ^m
92	8	19	19:8	28	15	39:2	0:8	302	6				BI
93	8	19	32:9	26	54	30:0	3:2	28	3				10"N czterw. gal 19 ^m
94	8	19	58:2	25	31	01:0	5	46	8				BI
95	8	20	01:5	27	44	34:2	3:4	35	4				
96	8	20	17:8	28	28	11:2	6	39	7				15"SE RDO 20 ^m
97+	8	20	18:7	25	06	16:6	6	230	30				10"E BDO 21 ^m
98+	8	20	19:3	27	01	24:7	18	24	7				
99	8	20	23:1	28	42	59:0	1:8	200	12				
100+	8	20	34:2	28	14	21:9	7	93	11				

101+	8	20	36.4	25	58	54.5	14	42	10	15"S RDO 20 ^m
102+	8	20	39.6	26	18	13.9	16	29	7	20"W grupa BDO 20 ^m
103+	8	20	44.6	27	34	59.1	14	34	7	15"SW trzy RDO 20 ^m
104+	8	21	05.7	26	37	50.3	4	175	11	15"E SO 20 ^m
105+	8	21	23.6	26	18	13.9	16	33	8	dwa RDO 21 ^m
106+	8	21	29.5	25	52	37.1	8	94	12	20"W RO 20 ^m
107+	8	21	38.5	25	07	29.7	12	128	23	BI
108+	8	22	11.6	26	41	20.0	6	92	8	10"SE RDO 21 ^m
109+	8	22	12.6	27	20	07.4	16	36	10	BDO 21 ^m
110+	8	22	24.5	26	08	20.8	7	94	12	BI
111+	8	22	37.5	27	10	54.6	7	74	10	10"N RDO 21 ^m
112+	8	22	42.8	27	14	04.3	11	59	10	15"S RDO 21 ^m
113+	8	22	55.5	26	53	57.5	2	359	9	SO 18 ^m
114+	8	23	01.9	27	46	55.4	16	49	15	BI
115+	8	23	05.9	26	13	18.0	12	72	13	5"E dwa RDO 20 ^m
116+	8	23	08.4	28	13	40.4	16	78	19	DO 21 ^m
117+	8	23	12.7	26	36	35.7	11	63	11	BI
118+	8	23	20.3	27	24	45.3	14	55	12	10"S gal 19 ^m
119+	8	23	52.6	26	40	17.9	8	101	13	BI

+ i x oznaczają źródła których pozycje i amplitudy wyznaczone z map o połowę mniejszej zdolności rozdzielczej,

EXT źródło rozciągłe, RDO czerwony obiekt dyfuzyjny, BDO niebieski obiekt dyfuzyjny,

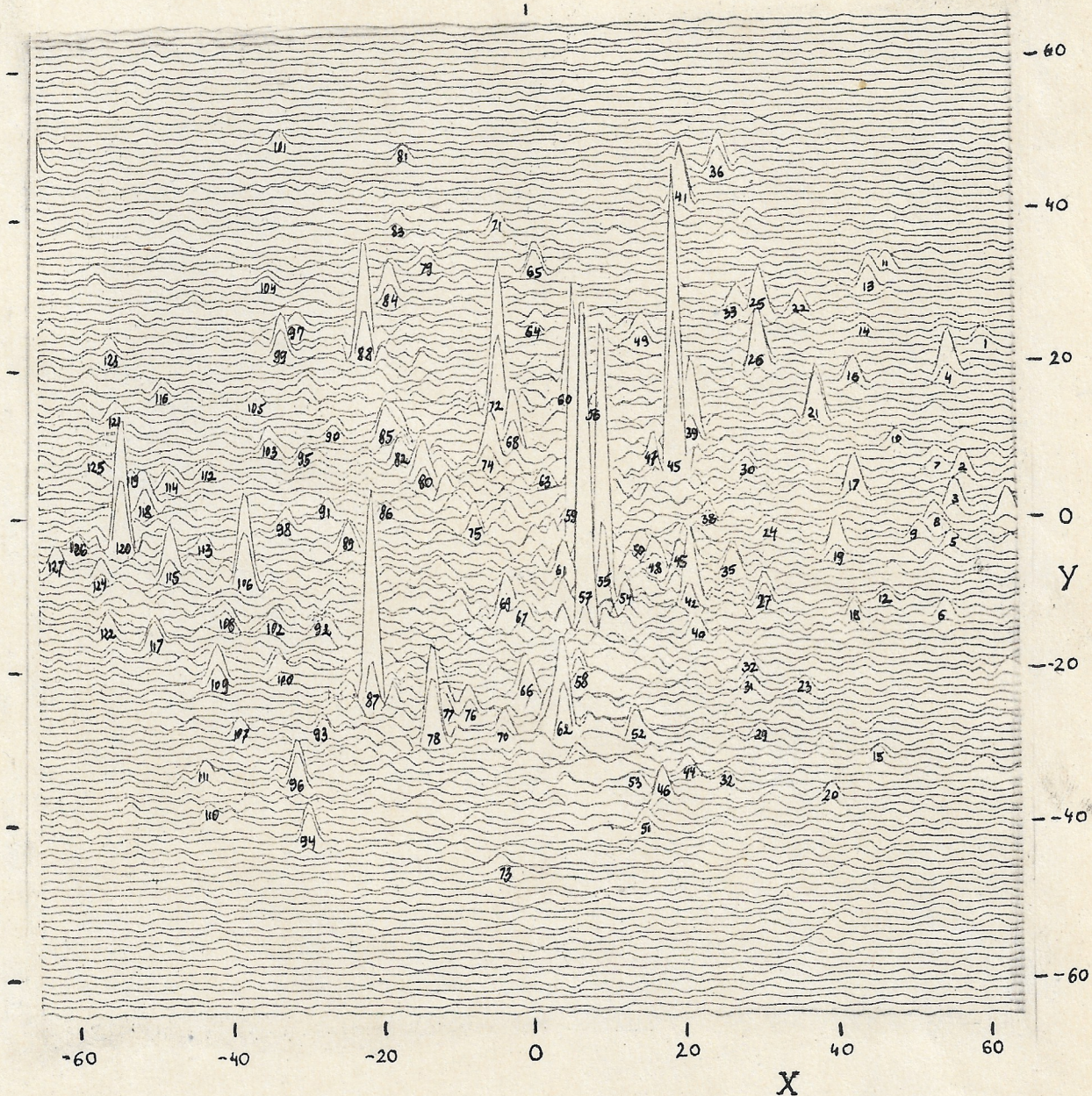
SO neutralny obiekt gwiazdowy, BSO niebieski obiekt gwiazdowy, DO neutralny obiekt dyfuzyjny.

Lista wszystkich radioźródeł o amplitudach $S \geq S_0/A_1A_3$ / $S_0 = 10 \text{ mf.u.}$ /
znajdujących się na mapie 408 MHz o dwukrotnie mniejszej zdolności rozdzielczej.

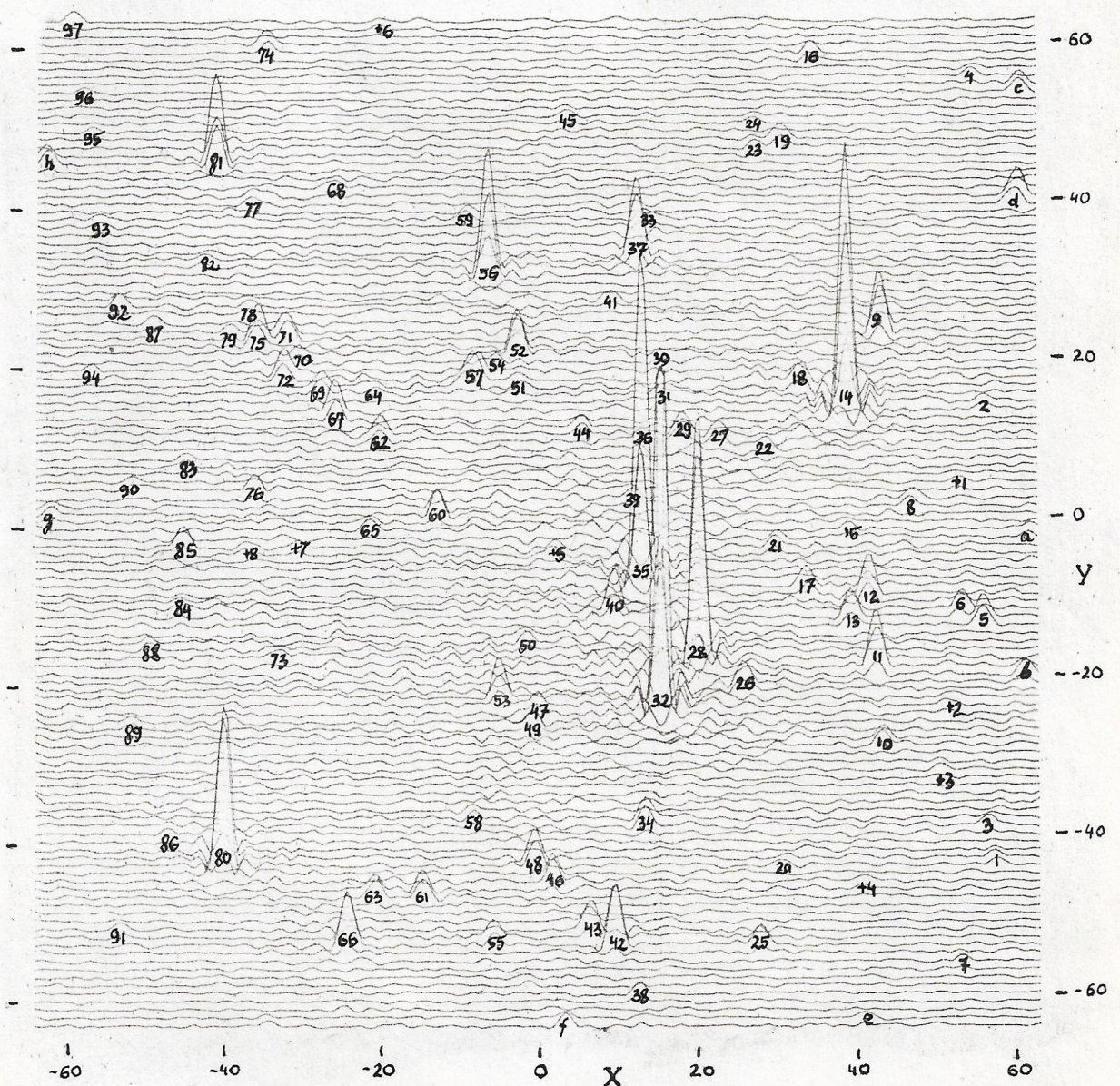
Nr ₁	Nr ₂	R.A.	Dec.	X	Y	R°	A1	A3	S/4 mf.u
1		8 10 11.5	28 12 02.0	58.7	22.7	118.1	0.60	0.28	39.7
2		8 10 33.3	27 17 09.4	56.2	5.9	88.2	0.70	0.50	33.9
3		8 10 41.9	27 04 13.4	55.0	2.1	84.4	0.74	0.54	35.1
4		8 10 42.4	28 00 40.4	54.4	19.1	105.2	0.68	0.36	86.3
5		8 10 45.9	26 46 36.6	54.6	-3.1	84.2	0.74	0.55	16.9
6		8 10 54.5	26 16 46.9	53.6	-11.9	91.3	0.74	0.47	24.9
7		8 10 55.5	27 22 53.9	52.9	7.6	84.8	0.77	0.54	15.4
8		8 10 59.3	26 56 06.3	52.6	-0.4	80.4	0.77	0.58	25.6
9		8 11 13.7	26 50 34.4	50.5	-2.1	77.6	0.82	0.61	18.0
10		8 11 29.8	27 30 53.1	47.8	9.8	80.3	0.85	0.57	15.0
11		8 11 33.5	28 42 58.4	46.7	32.0	129.5	0.70	0.21	61.2
12		8 11 44.7	26 25 05.7	46.2	-9.7	77.8	0.87	0.62	11.4
13		8 11 49.1	28 38 46.1	44.5	30.6	123.7	0.75	0.25	70.3
14		8 11 55.7	28 19 00.3	43.7	24.4	106.2	0.82	0.35	18.0
15		8 11 57.7	25 13 39.6	44.9	-30.0	122.3	0.75	0.25	34.8
16		8 12 06.0	27 58 46.7	42.3	18.2	89.3	0.90	0.49	30.2
17		8 12 09.0	27 12 27.9	42.3	4.2	66.2	0.94	0.70	31.3
18		8 12 13.6	26 18 35.0	42.0	-11.6	75.3	0.93	0.61	15.7
19		8 12 25.8	26 48 39.0	40.0	-2.9	62.0	0.96	0.75	23.5
20		8 12 38.6	24 56 04.7	38.9	-35.0	132.3	0.80	0.18	56.2
21		8 12 39.7	27 43 37.7	37.6	13.5	73.3	0.96	0.64	86.7
22		8 12 52.0	28 27 49.4	35.5	27.0	106.2	0.92	0.35	32.4
23		8 12 58.5	25 46 13.7	35.6	-21.0	89.5	0.96	0.48	11.7
24		8 13 25.5	26 57 22.5	31.3	-0.5	47.8	1.0	0.86	8.2
25	c	8 13 27.1	28 28 30.4	30.5	27.1	102.8	0.96	0.33	71.5
26	d	8 13 29.2	28 06 38.4	30.3	20.4	82.9	0.99	0.55	61.8
27	b	8 13 30.3	26 26 56.8	30.7	-9.4	56.8	1.0	0.78	17.8
28		8 13 31.9	29 04 46.6	29.6	38.5	137.7	0.86	0.10	61.5
29		8 13 37.4	25 25 21.3	30.0	-27.0	102.1	0.96	0.36	14.4
30	2	8 13 43.9	27 24 53.0	28.4	7.6	50.6	1.0	0.84	9.2
31	1	8 13 44.7	25 46 50.8	28.8	-21.0	83.4	0.99	0.51	14.2
32	3	8 13 47.3	25 53 56.3	28.4	-19.0	77.4	1.0	0.58	19.9
33	4	8 13 47.4	28 31 13.2	27.5	27.9	103.3	0.97	0.36	29.1
34		8 13 50.1	28 58 48.8	27.0	36.6	130.3	0.90	0.18	40.7
35	5	8 13 57.5	26 40 45.0	26.7	-5.5	44.8	1.0	0.87	17.7
36		8 14 00.1	29 27 25.8	25.4	45.7	159.1	0.80	0.05	436.
37		8 14 07.3	25 03 55.6	25.7	-33.0	118.3	0.95	0.25	27.5
38	8	8 14 17.1	27 04 38.8	23.7	1.5	36.6	1.0	0.92	5.6
39	9	8 14 29.9	27 39 51.4	21.7	12.1	52.5	1.0	0.80	45.4
40	10	8 14 30.2	26 11 47.6	22.0	-13.9	57.9	1.0	0.76	19.7
41		8 14 34.7	29 14 23.6	20.5	41.5	143.4	0.90	0.11	341.
42	11	8 14 34.7	26 29 09.4	21.3	-8.9	44.4	1.0	0.86	40.3
43	12	8 14 37.7	26 43 46.9	20.8	-4.6	35.5	1.0	0.92	26.8
44	e	8 14 42.2	25 10 36.4	20.8	-31.5	110.9	0.98	0.30	22.0
45	14	8 14 45.4	27 25 54.9	19.5	7.8	39.9	1.0	0.92	162.1
46		8 15 03.3	24 58 11.0	17.5	-34.7	120.2	0.98	0.23	79.5
47	18	8 15 04.4	27 30 46.4	16.7	9.3	40.4	1.0	0.90	11.4
48	17	8 15 04.9	26 45 02.1	16.8	-4.3	29.6	1.0	0.94	12.6
49	19	8 15 12.4	28 17 53.1	15.4	23.6	83.2	1.0	0.52	24.5
50	21	8 15 17.0	26 53 46.8	15.0	-1.8	23.7	1.0	0.96	6.8

51		8 15	18.4	24 44	39.2	15.3	-38.4	131.9	0.95	0.17	58.8
52	25	8 15	25.3	25 27	52.5	14.1	-26.5	92.0	1.0	0.44	35.8
53		8 15	28.1	25 04	59.9	13.8	-32.9	113.0	0.99	0.28	20.6
54	26	8 15	31.3	26 27	19.8	13.0	-9.5	37.8	1.0	0.90	16.2
55	28	8 15	50.8	26 33	06.4	10.1	-7.9	30.8	1.0	0.94	146.0
56	29	8 15	57.1	27 16	45.2	9.1	5.0	21.9	1.0	0.96	15.9
57	32	8 16	07.4	26 24	08.6	6.8	-10.4	37.3	1.0	0.87	208.
58	34	8 16	14.2	25 55	40.1	6.8	-18.7	63.9	1.0	0.70	15.5
59	35	8 16	14.8	26 51	21.4	6.6	-2.5	13.2	1.0	0.99	157.3
60	37	8 16	15.4	27 57	18.1	6.4	17.3	59.1	1.0	0.75	57.6
61	40	8 16	25.2	26 40	16.7	5.1	-5.8	21.1	1.0	0.97	17.1
62	42	8 16	28.7	25 28	59.8	4.7	-26.2	88.9	1.0	0.45	111.5
63	44	8 16	40.5	27 20	33.8	2.8	6.1	21.1	1.0	0.96	5.4
64	45	8 16	45.4	28 24	50.1	2.0	25.7	86.9	1.0	0.50	10.4
65		8 16	46.2	28 14	21.9	1.8	32.5	109.9	0.98	0.32	60.6
66	48	8 17	00.0	25 46	16.1	0.1	-24.4	72.2	1.0	0.56	36.8
67	49	8 17	01.9	26 19	00.2	-0.2	-12.0	40.5	1.0	0.85	12.8
68	52	8 17	07.8	27 36	04.0	-1.2	10.8	34.5	1.0	0.89	29.9
69	53	8 17	15.8	26 22	27.6	-2.3	-11.0	37.3	1.0	0.92	22.6
70	55	8 17	19.0	25 29	30.9	-2.7	-26.1	88.2	1.0	0.45	26.7
71		8 17	19.4	29 03	49.7	-2.9	38.0	128.3	0.98	0.20	40.9
72	56	8 17	20.5	27 52	45.7	-3.0	15.8	53.7	1.0	0.78	92.9
73		8 17	24.3	24 27	52.2	-3.4	-43.1	145.5	0.94	0.05	120.
74	57	8 17	27.9	27 30	07.5	-4.1	9.0	31.0	1.0	0.91	26.1
75	60	8 17	43.0	27 02	05.0	-6.2	0.6	9.8	1.0	0.97	10.5
76	61	8 17	49.7	25 39	13.7	-7.2	-23.4	79.6	1.0	0.52	23.8
77	63	8 18	10.8	25 39	06.9	-10.3	-23.4	80.5	1.0	0.50	30.9
78	66	8 18	21.4	25 28	45.0	-11.9	-26.3	90.6	1.0	0.40	119.7
79		8 18	23.3	28 49	54.1	-12.1	33.6	114.9	0.99	0.27	30.5
80	67	8 18	27.9	27 24	04.1	-12.8	7.2	31.2	1.0	0.89	20.1
81		8 18	44.0	29 32	14.7	-15.0	47.1	160.6	0.84	0.05	66.
82	72	8 18	48.1	27 35	03.1	-15.7	10.5	42.9	1.0	0.85	13.5
83		8 18	48.9	29 07	00.4	-15.7	39.0	133.9	0.94	0.15	39.9
84	74	8 18	57.2	28 37	53.9	-17.0	29.9	104.1	1.0	0.34	45.6
85	75	8 18	58.2	27 38	06.1	-17.2	11.5	46.8	1.0	0.80	25.3
86	76	8 19	00.3	27 06	41.9	-17.5	2.0	27.7	1.0	0.90	7.4
87	80	8 19	14.2	25 48	10.0	-19.6	-20.7	76.3	1.0	0.50	212.3
88	81	8 19	19.7	28 15	37.0	-20.2	23.0	83.5	1.0	0.51	105.9
89	85	8 19	34.1	26 54	09.6	-22.5	-1.6	34.8	1.0	0.84	17.5
90	92	8 19	47.0	27 41	39.9	-24.2	12.6	56.4	1.0	0.70	9.1
91	90	8 19	52.4	27 06	03.7	-25.1	1.9	38.9	1.0	0.81	9.0
92	89	8 19	54.7	26 15	12.5	-25.6	-12.9	58.7	1.0	0.65	13.7
93	91	8 19	57.2	25 31	09.1	-26.0	-25.5	94.8	0.99	0.36	20.5
94		8 20	08.9	24 40	43.8	-27.9	-39.4	139.8	0.86	0.05	429.
95	94	8 20	12.2	27 30	49.1	-27.9	9.4	53.1	1.0	0.71	8.3
96		8 20	18.7	25 06	16.6	-29.3	-32.4	118.2	0.94	0.21	115.2
97	96	8 20	20.0	28 24	18.8	-28.9	25.7	97.5	0.97	0.37	16.7
98	g	8 20	19.3	27 01	24.7	-30.5	0.6	46.7	1.0	0.75	11.9
99	h	8 20	34.2	28 14	21.9	-30.9	22.7	90.1	0.97	0.42	46.7
100		8 20	36.4	25 58	54.5	-31.7	-17.6	76.6	0.99	0.50	20.8

101	8	20	36.5	29	38	21.1	-31.0	49.2	172.8	0.67	0.05	222.
102	8	20	39.6	26	18	13.9	-32.1	-12.0	63.7	1.0	0.63	14.5
103	8	20	44.6	27	34	59.1	-32.6	10.7	61.5	1.0	0.63	17.0
104	8	20	48.2	28	42	24.4	-32.9	31.4	117.5	0.91	0.25	24.6
105	8	20	56.5	27	52	54.4	-34.2	16.2	75.6	0.98	0.52	11.0
106	8	21	05.7	26	37	50.3	-35.9	-6.2	58.8	0.99	0.54	87.6
107	8	21	09.1	25	29	08.7	-36.6	-25.9	103.9	0.92	0.30	26.8
108	8	21	23.6	26	18	13.9	-38.6	-11.4	70.4	1.0	0.55	16.6
109	8	21	29.5	25	52	37.1	-39.5	-19.2	88.7	0.92	0.40	47.1
110	8	21	34.3	24	48	19.4	-40.5	-37.1	139.9	0.75	0.05	185.
111	8	21	38.5	25	07	29.7	-41.1	-31.8	124.6	0.80	0.18	63.8
112	8	21	39.7	27	22	59.1	-40.6	7.2	66.8	0.96	0.58	10.0
113	8	21	41.8	26	52	07.8	-41.1	-1.9	63.2	0.96	0.60	12.0
114	8	22	12.6	27	20	07.4	-45.4	6.5	72.8	0.90	0.52	17.9
115	8	22	11.6	26	41	20.0	-45.5	-5.0	71.6	0.92	0.52	46.0
116	8	22	20.2	27	56	59.0	-46.3	17.6	92.5	0.84	0.38	18.4
117	8	22	24.5	26	08	20.8	-47.5	-14.6	87.7	0.85	0.40	46.8
118	8	22	37.5	27	10	54.6	-49.1	3.8	76.2	0.85	0.49	37.1
119	8	22	42.8	27	14	04.3	-49.8	4.7	77.9	0.82	0.46	29.5
120	8	22	55.5	26	53	57.5	-51.8	-1.2	79.3	0.80	0.45	179.4
121	8	23	01.9	27	46	55.4	-52.4	14.7	94.3	0.75	0.36	24.5
122	8	23	05.9	26	13	18.0	-53.6	-13.0	92.9	0.75	0.35	36.2
123	8	23	08.4	28	13	40.4	-53.2	22.9	112.3	0.69	0.25	39.1
124	8	23	12.7	26	36	35.7	-54.4	-6.2	85.8	0.75	0.40	31.3
125	8	23	20.3	27	24	45.3	-55.2	8.1	88.8	0.74	0.37	27.6
126	8	23	35.0	26	50	23.8	-57.6	-2.1	88.4	0.68	0.38	21.3
127	8	23	52.6	26	40	17.9	-60.2	-4.9	93.6	0.65	0.35	50.6



Rys.34 Rozmieszczenie radioźródeł zgodnie z numeracją pomocniczej listy wszystkich radioźródeł na mapie 408 MHz o dwukrotnie mniejszej zdolności rozdzielczej.



Rys.35 Rozmieszczenie radioźródeł zgodnie z numeracją /Nr₂/ pomocniczej listy wszystkich radioźródeł o amplitudach określonych przez $S \geq S_0/A_1A_3$ na mapie 408 MHz o pełnej zdolności rozdzielczej.

Lista wszystkich radioźródeł o amplitudach $S \approx S_0/A_1 A_2 A_3$ / $S_0 = 7.0 \text{ mf.u.}$ /
znajdujących się na mapie 408 MHz o pełnej zdolności rozdzielczej.

Nr ₂	R.A.	DEC.	X	Y	R'	A1	A2	A3	S/4 [mfu]
1	8 13 45.4	25 45 59.3	57.5	-42.5	84.1	0.45	0.55	0.53	18.3
2	8 13 45.9	27 23 43.5	56.3	14.6	49.6	0.68	0.86	0.84	6.8
3	8 13 47.8	25 53 59.4	56.7	-37.9	77.3	0.49	0.61	0.60	17.2
4	8 13 48.1	28 38 20.0	54.9	55.9	103.3	0.35	0.38	0.37	32.4
5	8 13 48.2	26 38 11.2	56.1	-12.4	47.7	0.68	0.88	0.86	21.8
6	8 13 57.3	26 40 37.1	53.5	-11.0	44.9	0.74	0.91	0.88	14.3
7	8 14 00.7	25 24 03.0	53.2	-54.9	101.2	0.38	0.40	0.38	20.9
8	8 14 18.1	27 03 39.0	47.2	2.5	36.3	0.88	0.95	0.93	8.0
9	8 14 30.3	27 39 56.9	43.2	24.2	52.6	0.84	0.83	0.80	47.4
10	8 14 32.3	26 12 15.8	43.5	-27.6	57.3	0.80	0.80	0.78	14.4
11	8 14 34.4	26 29 10.0	42.7	-17.9	44.4	0.91	0.90	0.88	37.4
12	8 14 37.4	26 44 12.0	41.7	-9.0	35.3	0.94	0.95	0.94	23.3
13	8 14 44.9	26 39 19.2	39.5	-11.9	36.3	0.94	0.94	0.93	18.0
14	8 14 45.5	27 25 55.3	39.0	15.7	40.0	0.95	0.92	0.90	162.2
15	8 14 45.6	26 57 47.0	39.2	-1.1	30.0	0.97	0.97	0.96	4.6
16	8 14 58.7	28 36 12.2	34.5	58.7	102.6	0.49	0.37	0.36	35.9
17	8 15 03.9	26 45 46.2	33.9	-8.2	29.4	0.99	0.97	0.96	10.5
18	8 15 04.5	27 29 25.0	27.9	18.5	37.8	0.98	0.92	0.90	9.3
19	8 15 12.1	28 18 21.5	30.8	47.6	83.7	0.70	0.52	0.51	23.4
20	8 15 16.8	25 45 43.2	30.6	-42.9	76.2	0.79	0.60	0.59	6.8
21	8 15 17.8	26 54 39.0	29.8	-3.0	23.3	1.0	0.98	0.97	5.8
22	8 15 20.6	27 16 17.0	28.8	9.8	27.6	1.0	0.97	0.96	3.5
23	8 15 23.7	28 17 40.3	27.5	47.2	82.3	0.74	0.54	0.52	9.6
24	8 15 24.0	28 22 42.6	27.4	50.3	87.4	0.67	0.49	0.48	10.6
25	8 15 26.0	25 28 08.6	28.0	-52.8	91.7	0.65	0.47	0.45	36.8
26	8 15 31.9	26 25 16.3	26.1	-20.1	39.3	1.0	0.91	0.90	11.8
27	8 15 41.4	27 17 38.6	22.8	10.6	25.0	1.0	0.97	0.96	8.8
28	8 15 50.9	26 33 20.5	20.3	-15.6	30.6	1.0	0.95	0.94	152.2
29	8 15 57.0	27 18 02.0	18.0	10.7	22.7	1.0	0.96	0.96	13.0
30	8 16 05.2	27 34 48.0	15.7	20.9	37.3	1.0	0.91	0.89	4.2
31	8 16 06.6	27 26 16.5	15.3	15.7	29.0	1.0	0.95	0.94	4.3
32	8 16 07.4	26 24 08.6	15.5	-21.0	37.3	1.0	0.91	0.89	221.4
33	8 16 12.6	28 02 11.2	13.4	37.5	64.1	0.96	0.67	0.65	10.9
34	8 16 14.2	25 55 26.8	13.6	-37.5	64.1	0.96	0.70	0.68	20.5
35	8 16 15.0	26 51 26.0	13.1	-5.0	13.1	1.0	0.99	0.98	161.9
36	8 16 15.1	27 16 48.0	13.0	10.0	19.7	1.0	0.97	0.96	5.8
37	8 16 15.7	27 56 53.0	12.6	34.3	58.6	0.99	0.74	0.74	55.8
38	8 16 17.7	25 17 07.3	12.8	-59.1	100.2	0.63	0.38	0.37	25.9
39	8 16 18.5	27 05 09.5	12.1	3.1	10.6	1.0	1.0	1.0	4.8
40	8 16 27.0	26 41 12.5	9.7	-11.0	20.1	1.0	0.97	0.96	22.1

Atenuacja amplitudy

A₁ spowodowana interpolacją na płaszczyźnie apertury

A₂ wywołana charakterystyką mocy pojedynczej anteny

A₃ A₂ plus efekty wstęgi, linii zapóźniających, stałej czasowej.

41	8	16	27.3	27	46	14.0	9.3	27.8	47.5	1.0	0.82	0.81	5.7
42	8	16	27.8	25	28	50.0	9.8	-52.6	89.0	0.77	0.47	0.45	101.5
43	8	16	38.2	25	31	40.0	6.7	-51.0	86.2	0.82	0.51	0.48	40.1
44	8	16	40.2	27	19	22.9	5.7	11.6	20.0	1.0	0.97	0.96	7.6
45	8	16	45.8	28	23	52.0	3.9	50.9	86.0	0.80	0.49	0.48	8.2
46	8	16	54.0	25	43	01.2	2.0	-44.6	75.3	0.85	0.60	0.57	27.9
47	8	17	00.3	26	20	20.0	0.0	-23.1	39.0	1.0	0.90	0.87	7.4
48	8	17	01.6	25	46	46.6	-0.2	-42.5	71.7	0.94	0.62	0.61	30.2
49	8	17	02.2	26	17	30.0	-0.5	-25.0	42.2	1.0	0.87	0.85	6.1
50	8	17	04.7	26	34	39.1	-1.3	-14.9	25.2	1.0	0.95	0.94	6.2
51	8	17	07.5	27	30	40.0	-2.4	18.4	31.1	1.0	0.94	0.92	3.9
52	8	17	08.0	27	35	54.0	-2.4	21.4	36.3	1.0	0.89	0.88	28.5
53	8	17	16.4	26	22	27.4	-4.7	-22.0	37.3	1.0	0.89	0.88	23.9
54	8	17	17.0	27	33	39.5	-5.0	20.1	34.2	1.0	0.90	0.89	5.5
55	8	17	19.2	25	29	18.0	-5.4	-52.3	90.7	0.78	0.48	0.46	27.2
56	8	17	20.7	27	52	45.0	-6.1	31.7	53.73	1.0	0.76	0.75	88.8
57	8	17	27.5	27	30	19.5	-8.0	18.1	31.2	1.0	0.91	0.90	15.4
58	8	17	27.8	25	56	48.0	-8.0	-36.8	62.4	0.98	0.70	0.69	5.9
59	8	17	30.6	28	03	28.5	-9.0	38.3	65.0	0.96	0.65	0.65	7.4
60	8	17	43.0	27	02	16.4	-12.5	1.3	9.8	1.0	0.97	0.97	15.3
61	8	17	49.4	25	39	42.0	-14.3	-46.5	79.2	0.89	0.54	0.53	28.2
62	8	18	07.8	27	18	00.8	-19.7	10.8	23.7	1.0	0.93	0.92	12.4
63	8	18	09.7	25	39	20.2	-20.2	-46.7	80.3	0.82	0.53	0.53	24.2
64	8	18	10.0	27	27	20.5	-20.3	16.4	31.7	1.0	0.90	0.89	4.5
65	8	18	12.2	26	58	36.5	-21.0	-0.8	16.1	1.0	0.96	0.95	6.4
66	8	18	21.6	25	28	40.2	-23.9	-52.6	90.7	0.66	0.44	0.43	110.3
67	8	18	27.3	27	22	58.4	-25.4	13.8	30.3	0.98	0.90	0.88	19.6
68	8	18	28.5	28	09	39.2	-25.7	42.1	73.8	0.83	0.56	0.56	8.7
69	8	18	33.3	27	27	35.1	-27.2	16.5	34.8	1.0	0.86	0.86	11.0
70	8	18	43.1	27	34	15.0	-30.0	20.6	42.7	0.99	0.82	0.81	6.5
71	8	18	48.5	27	39	04.0	-31.6	23.5	46.4	0.96	0.78	0.78	15.4
72	8	18	49.7	27	31	08.2	-31.9	18.7	39.9	0.95	0.83	0.82	15.0
73	8	18	50.6	26	31	25.0	-32.2	-16.7	37.4	0.99	0.85	0.85	5.8
74	8	18	57.8	28	37	45.3	-34.1	59.6	104.0	0.48	0.33	0.32	57.1
75	8	19	01.0	27	37	56.0	-35.2	22.9	47.0	0.94	0.77	0.76	26.2
76	8	19	01.8	27	06	34.1	-35.4	4.0	27.9	0.99	0.90	0.88	9.7
77	8	19	03.5	28	06	57.5	-35.9	40.5	73.7	0.75	0.55	0.54	10.3
78	8	19	04.4	27	43	58.0	-36.1	26.5	52.6	0.92	0.73	0.72	6.7
79	8	19	12.7	27	39	22.0	-38.6	23.7	49.7	0.91	0.75	0.74	5.7
80	8	19	14.4	25	48	13.3	-39.4	-41.5	76.2	0.70	0.53	0.52	250.5

81	8	19	19.8	28	15	39.2	-40.5	45.9	73.6	0.62	0.48	0.47	150.8
82	8	19	25.2	27	53	52.7	-42.1	32.6	63.7	0.76	0.64	0.64	7.6
83	8	19	32.1	27	11	50.8	-44.5	7.2	36.0	0.92	0.84	0.83	4.4
84	8	19	32.9	26	41	14.0	-44.6	-10.8	38.7	0.90	0.83	0.82	5.8
85	8	19	32.9	26	54	30.0	-44.6	-3.0	34.4	0.92	0.86	0.84	13.8
86	8	19	38.4	25	52	59.0	-46.4	-38.7	74.4	0.64	0.56	0.55	10.0
87	8	19	46.5	27	41	25.0	-48.3	25.0	56.1	0.74	0.70	0.68	7.9
88	8	19	47.1	26	33	04.0	-48.8	-15.6	45.6	0.81	0.78	0.77	7.6
89	8	19	54.3	26	15	52.0	-51.0	-25.5	53.1	0.69	0.69	0.67	7.7
90	8	19	54.5	27	07	16.0	-50.9	4.6	39.6	0.81	0.82	0.80	5.2

91	8	19	58.2	25	31	01.0	-52.4	-51.1	95.0	0.44	0.39	0.37	23.1
92	8	20	01.5	27	44	34.2	-52.7	27.1	60.7	0.65	0.65	0.63	17.4
93	8	20	10.6	28	01	50.0	-55.3	37.6	76.3	0.75	0.52	0.50	9.4
94	8	20	13.4	27	31	00.0	-56.2	18.9	53.5	0.65	0.70	0.70	6.2
95	8	20	14.1	28	20	17.0	-56.1	48.9	93.1	0.40	0.40	0.38	16.6
96	8	20	17.8	28	28	11.2	-57.1	53.9	100.9	0.36	0.34	0.34	19.6
97	8	20	23.1	28	42	59.0	-58.7	63.2	115.7	0.20	0.25	0.24	100.0

+1	8	13	57.7	27	07	29.0	53.1	4.8	41.4	0.75	0.92	0.91	4.4
+2	8	14	05.5	26	19	59.6	51.4	-23.0	55.3	0.70	0.82	0.80	5.5
+3	8	14	08.3	26	06	13.6	50.6	-31.0	65.1	0.65	0.73	0.71	6.7
+4	8	14	41.6	25	41	04.0	41.0	-45.5	83.0	0.90	0.55	0.53	5.9
+5	8	16	52.6	26	53	55.0	2.2	-3.6	6.4	1.0	0.99	0.99	4.6
+6	8	18	08.4	28	41	49.0	-19.9	62.1	105.9	0.56	0.33	0.32	16.2
+7	8	18	43.3	26	54	20.0	-30.2	-3.3	23.7	1.0	0.92	0.92	3.3
+8	8	19	05.3	26	53	40.2	-36.5	-3.6	28.6	0.98	0.90	0.88	3.8

a	8	13	25.5	26	57	22.5	62.5	-1.0	48.0		0.89		8.4
b	8	13	30.3	26	26	56.8	61.5	-18.9	56.8		0.82		17.8
c	8	13	27.1	28	28	30.4	60.9	54.2	102.8		0.38		64.7
d	8	13	29.2	28	06	38.4	60.6	40.7	82.9		0.55		64.8
e	8	14	40.4	25	09	49.6	41.6	-62.9	110.9		0.33		20.6
f	8	16	58.9	25	14	54.6	0.6	-60.4	104.9		0.34		12.3
g	8	20	29.3	27	01	24.7	-60.9	1.2	46.6		0.76		12.2
h	8	20	34.2	28	14	22.0	-61.9	45.4	90.1		0.41		49.0

i znajdowały się w polu gdzie czułość ≥ 0.20 .

Analizowano źródła leżące w polu gdzie $P(\Theta) \geq 0.24$. /Apendix II/.

W sumie obserwuje się większą liczbę źródeł w porównaniu z

W niniejszej pracy wyznaczono poprawkę związaną z efektem gubienia radioźródeł. gubienia

Korzystając z /50/ wyliczono, że poprawki jakie należałoby wprowadzić celem wyeliminowania efektu gubienia radioźródeł, wynoszą w przedziale najsłabszych źródeł około 40% , a w przedziale najsilniejszych 8%. Poprawek tych przy zliczeniach nie uwzględniono gdyż nie opisują pełnego efektu konfuzji.

20 mf.u.

1.12 ± 0.07 .

1.12 :